

О РЕГИСТРАЦИИ НА НЕБОСВОДЕ ИСТИННОГО ПОЛОЖЕНИЯ СОЛНЦА, ТУМАННОСТИ АНДРОМЕДЫ, КОМЕТЫ «ШУМЕЙКЕР-ЛЕВИ 9»

Холодов Л.И., Горячев И.В.

Лаборатория физического вакуума им. Я.П.Терлецкого LATER
UFO

Содержание:

1. Причинно-временная концепция Козырева Н.А.
2. Мгновенная регистрация столкновения кометы «Шумейкер-Леви 9» с Юпитером
3. Регистрация истинного положения Солнца
4. Иерархия качественно различных уровней материи и монополю Лошака
5. Применение монополю Лошака для регистрации истинного положения небесных объектов

Человека всегда притягивало небо, особенно ночное – таинственное, глубокое, с бесчисленными звездами. Но небо это умершее, потому что мы видим звезды там, где они находились тысячи, миллионы и миллиарды лет тому назад. Это вызвано медленным, по космическим масштабам, распространением идущей от них информации об их расположении в глубинах Вселенной, определяемой скоростью света, равной 300000 км/сек. Ни нам, ни нашим потомкам не придется увидеть их истинное положение на небосводе до тех пор, пока будем опираться на скорость света, как предельный носитель информации о Вселенной.

Эта статья - о возможности регистрировать небесные объекты в их истинном положении в момент наблюдения.

1. Причинно-временная концепция Козырева Н.А.

В современной науке общепринято, что физические процессы не могут протекать быстрее скорости света. Тем не менее этот постулат постоянно подвергается сомнению. Так, советский астрофизик Козырев Н.А. в своей работе «Причинная механика» показал, что возможна сверхсветовая мгновенная связь некоторых явлений по временному каналу. Эти выводы Козырев подтвердил наблюдениями за рядом звёздных объектов, таких, например, как М31(туманность Андромеды), шаровыми скоплениями М2 и

M13 и др., которые были проведены в 1977-78 годах на 50-дм рефракторе Крымской астрофизической обсерватории. Козырев астрономическими методами определил направление и скорость движения этих звездных объектов по небосводу и рассчитал, куда они должны переместиться за время, пока свет от них достигнет Земли. Так, например, свет от туманности Андромеды идет к Земле 2 млн. лет. Направляя телескоп в расчётные точки небосвода, Козырев получал из пустого пространства сигналы о нахождении там искомым звездных объектов в их истинном положении. Эти наблюдения, по мнению Козырева, показали, что свойства времени, действительно, позволяют осуществляться мгновенной передаче физического воздействия космических объектов на состояние вещества-датчика в некоторой приемной системе. Такой системой в экспериментах Козырева являлся “мост Уитстона”, собранный на резисторах типа ОМЛТ-0,125 (5 кОм). Изменение электропроводности одного из этих резисторов нарушало равновесие моста, которое регистрировал гальванометр с ценой деления $2 \cdot 10^{-9}$ А. Этот рабочий резистор располагался за щелью шириной 0,25 мм, находившейся в фокальной плоскости телескопа.

Эксперименты показали, что резистор фиксирует не только истинное положение звезды в момент наблюдений, но и её видимое положение, т.е. положение в прошлом, когда свет покинул её. Этот результат позволил заключить [13], что воздействие на приёмник осуществляется во времени не только по траектории пришедшего к нему света, но и мгновенно (рис.1).

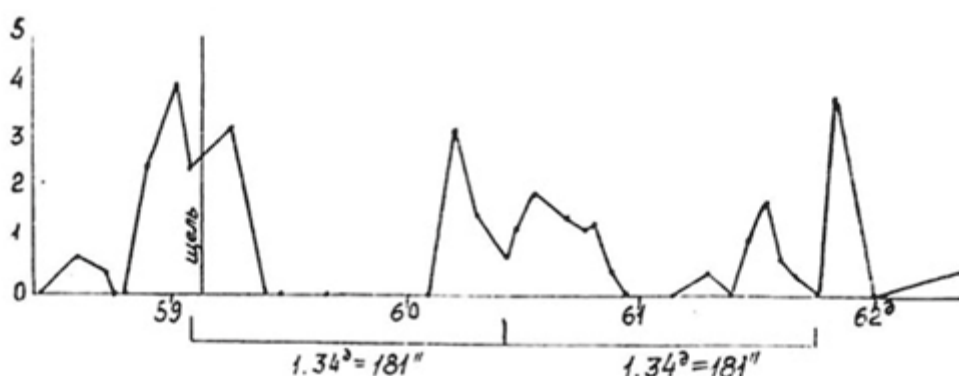


Рис.1. Графики воздействия туманности Андромеды по временному каналу на резистор “моста Уитстона” при разных положениях центра её видимого изображения. По оси ординат – изменения отсчёта гальванометра; по оси абсцисс – соответствующие отсчёты микрометра.

На рис.1 приведены графики воздействия туманности Андромеды M31 по временному каналу на резистор (датчик) “моста Уитстона”: из прошлого (слева), когда свет отправился к Земле, - в настоящее время - (в центре) и из будущего - (справа), когда свет от Земли достигнет туманности M31.

2. Мгновенная сверхсветовая регистрация столкновения кометы “Шумейкер-Леви 9” с Юпитером.

В газете «Новости науки Сибири» №24,25 за 1994 год опубликована статья группы авторов - академика М.Лаврентьева, старшего научного сотрудника И.Егановой и В.Гусева - ”Мир событий“, в которой представлены результаты, полученные новосибирской группой межинститутской лаборатории хронометрии и солнечно-земной физики ИМ и ИСЗФ СО РАН при наблюдении за состоянием вещества наземных датчиков во время крупной катастрофы в Солнечной системе – столкновении кометы “Шумейкер-Леви 9” с Юпитером. Эти наблюдения показали, что при мощных разрушительных процессах даже на таких расстояниях (более 750 миллионов километров) практически мгновенно возникают существенные изменения состояния вещества наземных систем, что свидетельствует о регистрации факта сверхсветовой коммуникации.

Падение на Юпитер фрагментов A,F,N,Q₂,Q₁ и, возможно M, кометы “Шумейкер-Леви 9” в Новосибирске зарегистрировали на 43 мин. раньше, чем астрономы в США по световым сигналам.

Сверхсветовая коммуникация во время катастрофы на Юпитере проявилась не только в аномалиях состояния датчика специальной приемной системы астрофизического измерительно–вычислительного комплекса. Уникальность и мощность данного космического события позволили использовать в качестве наземных датчиков сверхсветовой коммуникации некоторые минералы. Фрагментарная структура кометы позволила провести многократные наблюдения сверхсветовой коммуникации: зарегистрировано увеличение массы двух различных минералов, опережающее, в среднем, на 43 минуты (средняя квадратичная ошибка составляет 1 минуту) астрономические наблюдения столкновения с Юпитером указанных фрагментов кометы [14].

3. Регистрация истинного положения Солнца

Цитируемое ниже частное сообщение, принадлежащее авторству сотрудников Института Математики Сибирского отделения Академии наук СССР Академика М.М. ЛАВРЕНТЬЕВА, В.А. ГУСЕВА, И.А. ЕГАНОВОЙ, М.К. ЛУЦЕТ, С.Ф. ФОМИНЫХ, датируется 17.XI.1989г.

“Предлагаемая работа представляет результаты серии экспериментов, поставленных с целью исследования механизма воздействия, наблюдаемого в связи с необратимыми процессами естественного и искусственного происхождения [1-6]. Мы стремились установить принципиальное отличие этого воздействия от известных физических воздействий, в частности,

исследовать скорость его “распространения”. Поэтому в качестве источника исследуемого воздействия было выбрано Солнце.

Все известные воздействия, оказываемые Солнцем на наземные датчики, распространяются со скоростью, не превышающей скорость света в вакууме, и на преодоление расстояния в $149,5 \cdot 10^6$ км до Земли для проявления этих воздействий требуется не менее 8,3 мин. Соответственно, расстояние между видимым и истинным положениями Солнца на небосводе составляет $\sim 2^{\circ}4'$.

Главной целью наших исследований было установление факта воздействия истинного положения Солнца на чувствительный элемент – датчик, находящийся в фокальной плоскости телескопа-рефлектора. В качестве датчика использовались две системы: физическая – металлопленочный резистор в соответствующей приемной системе [2, 7] и биологическая – клетки микроорганизмов *Escherichia coli*, находящиеся в состоянии анабиоза [8]. Эти исследования являются продолжением астрофизических наблюдений на 50-дюймовом рефлекторе Крымской астрофизической обсерватории АН СССР, представленных в работе [7], где описаны общая схема экспериментальной установки и основной режим наблюдений. Для наблюдения исследуемого воздействия от Солнца оказалось достаточно возможностей телескопа “МИЦАР” ТАЛ-1 (диаметр главного зеркала 110 мм), оснащенного дополнительным техническим приспособлением. Результаты наблюдений представлены на рис. 2 и 3. На рис. 2 изображена реакция биологической системы на пребывание в фокальной плоскости телескопа (экспозиция 3 мин), когда последний был установлен на видимое положение Солнца и на положения в t минутах времени от него по траектории движения Солнца. Истинное положение Солнца находится в окрестности $t = 8^m$ (видимый диаметр Солнца $\sim 30'$). Наблюдения проводятся вблизи момента верхней кульминации, см. [2]. Подчеркнем, что все наблюдения выполнялись при полном перекрытии главного зеркала пластмассовой заслонкой, см. также [2]. В качестве тестовой реакции биологической системы использовалась способность микроорганизмов формировать колонии на твердой агаризованной среде. Из данных, представленных на рис. 1, следует, что после воздействия и с t и n - n о г о положения Солнца ($t = 8^m$) количество клеток, способных формировать колонии, возрастает. Величина эффекта зависит от предыстории популяции – от величины исходной концентрации жизнеспособных клеток (ср. “а” и “б” с “в” на рис. 2). Наблюдаемое воздействие имеет обратимый характер. Релаксация клеток в течение двух часов после воздействия при температуре 4°C приводит к заметному общему снижению степени “суперактивации” клеток (см. штриховую кривую на рис. 2), а после суточного выдерживания при низкой температуре эффект полностью пропадает. Аналогичная динамика исчезновения эффекта данного воздействия для физических систем отмечалась Н.А. Козыревым [1, 2, 4]. Для усиления контроля в эксперименте “а” точки $\odot(t = 8^m$ и $t = 12^m)$

получены на двух популяциях микроорганизмов (с различным временем предварительного инкубирования в анабиотических условиях

Эффект суперактивации проявляется не только в увеличении числа жизнеспособных клеток. После исследуемого воздействия истинного Солнца при $t = 8^m$ клетки *E. coli* приобретают способность активно размножаться в существенно неоптимальных условиях: в дистиллированной воде при температуре 22°C время удвоения популяции порядка двух часов (за 10 часов инкубирования количество жизнеспособных клеток увеличилось в 30 раз, при других увеличение много меньше).

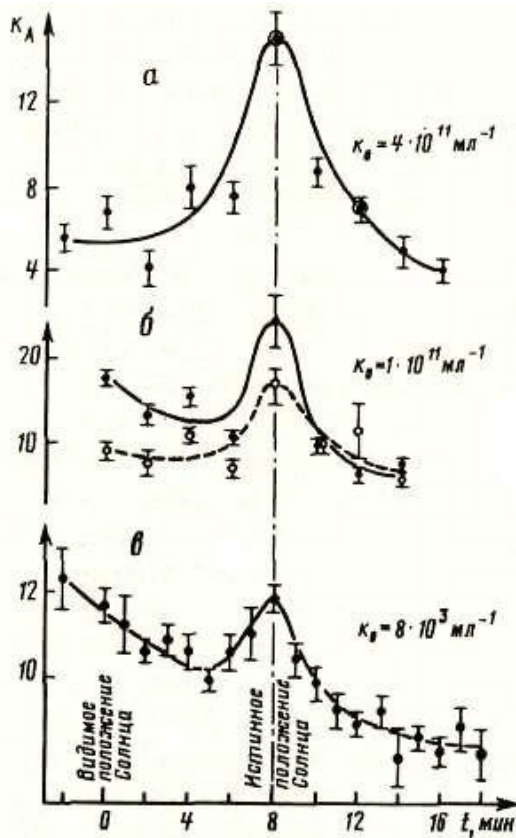


Рис.2. Реакция биологической системы на дискретное сканирование траектории Солнца. — средняя концентрация клеток в популяции перед экспозицией в фокальной плоскости телескопа — число колоний клеток в соответствующей (значению) пробе в эксперименте “а”, “б”, “в”.

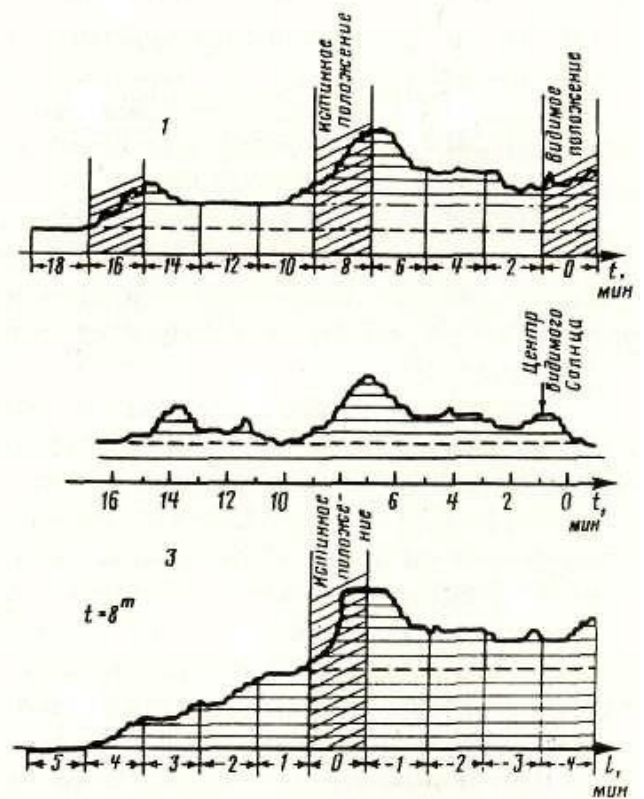


Рис. 3. Реакция физической системы на сканирование околосолнечного пространства в различных направлениях.

Реакции биологической системы на воздействие истинного Солнца соответствует реакция физической системы на это же воздействие. На рис. 3 представлены три записи реакции металлопленочного резистора – показания нулевого индикатора приемной системы, см. [7]: 1 – дискретное сканирование солнечной траектории, экспозиция на каждом положении в минутах от центра видимого Солнца составляла одну минуту; скорость записи 12 мм/мин; направление сканирования от $l=18^m$ к $l=0^m$; 2 – непрерывное сканирование той же траектории в том же направлении при неподвижном телескопе; скорость записи 6 мм/мин; 3 – дискретное сканирование такое же, как в случае 1, в направлении, перпендикулярном солнечной траектории, проходящем через истинное положение Солнца; центр истинного Солнца находится в $l=0$; направление сканирования от $l=5^m$ до $l=-5^m$. Эти наблюдения проводились также при полном перекрытии главного зеркала телескопа.

Неоднократные наблюдения с помощью этой приемной системы, предложенной Н.А. Козыревым [2], показали следующее. Действительно, имеет место воздействие истинного Солнца на резистор, находящийся в фокальной плоскости телескопа-рефлектора, см. рис. 3 при $t=8^m$. (Отметим, что реакция нулевого индикатора на воздействие положения $t=8^m$ одного порядка при разных сканированиях: в приведенном наблюдении – 6 делений диаграммной бумаги, см. [7].) Как и при наблюдении звезд, удаленных на десятки и сотни световых лет, в работе [7], видимое Солнце оказывает заметное, но более слабое воздействие на резистор, чем истинное. При минутной экспозиции наблюдается сдвиг нулевого уровня (штриховая линия).

Наблюдения, проведенные через три часа после момента верхней кульминации, подтверждают, что наблюдаемое воздействие не испытывает рефракции [2]. “Радиус” данного воздействия, по-видимому, значительно больше, чем видимый радиус Солнца, см. рис. 3: реакция резистора начинается уже в окрестности $t=10^m$ и $l=1^m$.

В этой работе мы намеренно выделяем только один неординарный факт: то, что физическая, и биологическая системы однозначно фиксируют истинное положение Солнца. С учетом результатов Н.А. Козырева по наблюдению планет, звезд и галактик [2, 3, 9] это означает, что существует тип воздействий, не рассматриваемый современной физикой. Исследование этого типа воздействий имеет важное значение для развития представлений физики о реальности пространства-времени [10–12], о наличии референта времени в объективном мире, так как, как уже обнаружено Н.А. Козыревым при наблюдении планет, звезд и галактик [2, 3, 9], с помощью этого воздействия фиксируются три образа объекта: видимый, истинный и симметричный видимому относительно истинного. Для Солнца этим образом соответствуют положения, и соответственно, см. рис. 3, кривые 1 и 2. Этот экспериментальный результат представляет самостоятельный

интерес, поэтому его исследование и теоретическая интерпретация будут представлены в другой работе.”

4. Иерархия качественно различных уровней материи и монополи Лошака

В 1993 году при кафедре ТФ РУДН под руководством проф. Рыбакова Ю.П. была высказана гипотеза об «Иерархии качественно различных уровней материи» [15]. В ее основу положена постоянная тонкой структуры α на всех уровнях квантования пространства, при соответствующем изменении констант, ее формирующих,

$$\text{СГС} \quad \alpha = \frac{e^2}{\hbar c} = \frac{e_k^2}{\hbar_k c} = \frac{(e\alpha^k)^2}{\hbar\alpha^{2k}c} \quad (1)$$

$$\text{СИ} \quad \alpha = \frac{e^2}{4\pi\varepsilon_0\hbar c} = \frac{e_k^2}{4\pi\varepsilon_k\hbar_k c_k} = \frac{(e\alpha^k)^2}{4\pi\varepsilon_0\alpha^k\hbar\alpha^{2k}c\alpha^{-k}} \quad (2)$$

$$\alpha = \frac{\mu_0(ec)^2}{4\pi\hbar c} = \frac{\mu_k(e_k c_k)^2}{4\pi\hbar_k c_k} = \frac{\mu_0\alpha^k(e\alpha^k c\alpha^{-k} = ec)^2}{4\pi\hbar\alpha^{2k}c\alpha^{-k}} \quad (3)$$

где $k = -1, 0, 1, 2, \dots, \infty$ – уровни квантования «Иерархии»:

- $k = 0$ – уровень всей современной физики,

- $k = 1, 2, \dots$ – уровни микролептонной физики (Охатрина А.Ф. и др.),

- $k = \infty$ – здесь все константы, кроме c , стремятся к нулю, сохраняя отношение

α . Это континуальный информационный уровень,

- $k = -1$ – уровень монополя Поля Дирака.

Множество качественно различных уровней материи должны быть взаимосвязаны и допускать переход частиц с одного уровня на другой по определенным законам:

- При постоянной длине волны $\lambda = \text{const}$.

В общем виде имеем

$$W_k = W_0 \alpha^k = \hbar \alpha^{2k} \left(2\pi \frac{c/\alpha^k}{\lambda} = \frac{\omega_0}{\alpha^k} \right) = m_k \frac{c^2}{\alpha^{2k}} \quad (4)$$

$$m_k = \frac{E_0 \alpha^k}{c^2 / \alpha^{2k}} = \frac{E_0}{c^2} \alpha^{3k} = m_0 \alpha^{3k} \quad (5)$$

- При $\omega = \text{const}$:

$$W_k = \hbar_k (\omega_0 = 2\pi \frac{c_k}{\lambda_k}) = \hbar \alpha^{2k} 2\pi \frac{c\alpha^{-k}}{\lambda\alpha^{-k}} = \hbar 2\pi \frac{c}{\lambda} \alpha^{2k} = W_0 \alpha^{2k} \quad (6)$$

-При $W_k = \text{const}$:

$$W_k = \hbar \alpha^{2k} \frac{\omega_0}{\alpha^{2k}} = W_0. \quad (7)$$

В наших работах [15,16] и др. обосновано равенство приведенных электрического и магнитного зарядов и их энергий

$$\frac{e}{\sqrt{\epsilon_0}} = \sqrt{\mu_0} (ec) \quad (8)$$

$$\frac{e^2}{4\pi\epsilon_0 r_0} = \frac{\mu_0 (ec)^2}{4\pi r_0} \quad (9)$$

Эти заряды также квантуются по уровням «Иерархии», что показано в формулах (2) и (3).

Реальность существования предложенной гипотетической «Иерархии» и магнитных зарядов проверяется на экспериментальной Работе группы Уруцкого Л.И., в которой обнаружено «странное» излучение ШПО при электровзрывах титановых фольг в воде [18].

В этой работе зарегистрированы «тяжелые» частицы с магнитными зарядами типа монополя Дирака, оставляющие в эмульсии «гусеничные» треки. Также зарегистрированы «легкие» частицы с магнитными зарядами типа монополей Лошака N и S. По мнению Уруцкого, монополи Лошака являются одним из состояний нейтрино и, следовательно, должны иметь минимальную массу.

В Работе зафиксировано совпадение оптических спектров излучений ШПО и масс-спектрометрии осадка, собранного в камере после электровзрыва титановой фольги. Этот фактор положен в основу проверочных расчетов «странного» излучения, который выполнен по варианту перехода частиц между уровнями при постоянной длине волны $\lambda = \text{const}$.

Для расчета примем усредненную λ светового диапазона волн: от фиолетовых 390 ÷ 440 нм до красных 620 ÷ 770 нм, среднее значение 580 нм = $5,8 \cdot 10^{-7}$ м.

По формулам (4), (5) получаем энергию и массу частицы на уровне $k = 0$ (в камере)

$$W_0 = \hbar 2\pi \frac{c}{\lambda} = 1,054 * 10^{-34} 2\pi \frac{3*10^8}{5,8*10^{-7}} = 3,42 * 10^{-19} \text{ Дж} \quad (10)$$

$$m_0 = \frac{W_0}{c^2} = \frac{3,42*10^{-19}}{9*10^{16}} = 3,8 * 10^{-36} \text{ кг} \quad (11)$$

Энергия и масса частицы на уровне $k = 1$

$$W_1 = W_0 \alpha = 3,42 * 10^{-19} * 7,29 * 10^{-3} = 2,49 * 10^{-21} \text{ Дж} \quad (12)$$

$$m_1 = m_0 \alpha^3 = 3,8 * 10^{-36} * 3,87 * 10^{-7} = 1,47 * 10^{-42} \text{ кг} \quad (13)$$

Из оценки светимости энергии ШПО $W_{\text{св}} \sim 1$ кДж получается количество частиц в ШПО

$$N = 1 / 2,49 * 10^{-21} = 4,0 * 10^{20} \quad (14)$$

которое совпало с приведенным в Работе количеством актов трансформации $10^{19} - 10^{20}$ за выстрел

Для определения магнитного заряда монополя за основу принимаем формулу (8), которая опирается на стабильность Вселенского вакуума, подтверждаемую формулой его резонанса, воспринимаемой как скорость света

$$c = \frac{1}{\sqrt{\mu_0 \epsilon_0}} \quad (15)$$

$$\sqrt{\mu_0} (ec) \quad (16)$$

Магнитный заряд в «Иерархии» квантуется по уровням $k = -1, 0, 1, 2, \dots, \infty$

$$g_k = \sqrt{\mu_0} \sqrt{\alpha^k} (e\alpha^k * c\alpha^{-k}) = \sqrt{\mu_0} \sqrt{\alpha^k} (ec) \quad (17)$$

Введение уровня $k = -1$ позволило увеличить магнитный заряд до монополя Поля Дирака.

Для того, чтобы определить размер частицы внутри камеры на уровне $k = 0$ и частицы из магнитного кластера ШПО на уровне $k = 1$, приравняем формулы их энергии

$$W_0 = \frac{\mu_0 (ec)^2}{4\pi r} \quad (18)$$

$$W_1 = \frac{\mu_0 \alpha (ec)^2}{4\pi r_1} \quad (19)$$

к энергии соответствующих им частиц по формулам (10) и (12) и определим их радиусы

$$r = \frac{\mu_0 (ec)^2}{4\pi W_0} = \frac{1,256 * 10^{-6} (4,8 * 10^{-11})^2}{4\pi * 3,42 * 10^{-19}} = 5,8 * 10^{-10} \text{ м} \quad (20)$$

$$r_1 = \frac{\mu_0 \alpha (ec)^2}{4\pi W_1} = \frac{1,256 \cdot 10^{-6} \cdot 7,29 \cdot 10^{-3} (4,8 \cdot 10^{-11})^2}{4\pi \cdot 3,97 \cdot 10^{-21}} = 5,8 \cdot 10^{-10} \text{ м} \quad (21)$$

Итак, расчет показал, что частицы на уровнях $k = 0,1$ по зарядам и массе удовлетворяют критериям монополя Лошака и что монополю Лошака представляет собой спектр частиц, квантованных по уровням «Иерархии». Покажем это в сводной Таблице 1 [18]

Таблица 1. Характеристики монополей Лошака на $k = 0,1,2$ уровнях «Иерархии».

Параметры монополей	Фиолетовый свет 390-440 нм	Средний свет 580 нм	Красный свет 620-770 нм
K=0 $W_0 = n \cdot 10^{-19} \text{ Дж}$ $m_0 = n \cdot 10^{-36} \text{ кг}$ $r_0 = n \cdot 10^{-10} \text{ м}$ Заряд приведенный g_0 $c_0 = c\alpha^0 = n \cdot 10^8 \text{ мс}^{-1}$	5,09 5,65 4,5 $\sqrt{\mu_0} (ec)$ 3	3,42 3,8 5,8 $\sqrt{\mu_0} (ec)$ 3	2,56 2,8 9,0 $\sqrt{\mu_0} (ec)$ 3
K=1 $W_1 = n \cdot 10^{-21} \text{ Дж}$ $m_1 = n \cdot 10^{-42} \text{ кг}$ $r_1 = n \cdot 10^{-10} \text{ м}$ Заряд приведенный g_1 $c_1 = c/\alpha = n \cdot 10^{10} \text{ мс}^{-1}$	3,7 2,18 4,5 $\sqrt{\mu_0 \alpha} (ec)$ 4,11	2,49 1,47 5,8 $\sqrt{\mu_0 \alpha} (ec)$ 4,11	1,86 1,08 9,0 $\sqrt{\mu_0 \alpha} (ec)$ 4,11
K=2 $W_2 = W_0 \alpha^2 = n \cdot 10^{-23} \text{ Дж}$ $m_2 = m_0 \alpha^6 = n \cdot 10^{-49} \text{ кг}$ $r_2 = g_2^2 \cdot W_2^{-1} = n \cdot 10^{-10} \text{ м}$ Заряд приведенный g_2 $c_2 = c/\alpha^2 = n \cdot 10^{12} \text{ мс}^{-1}$	2,70 8,48 4,5 $\sqrt{\mu_0} (ec)\alpha$ 5,64	1,81 5,70 5,8 $\sqrt{\mu_0} (ec)\alpha$ 5,64	1,36 5,27 9,0 $\sqrt{\mu_0} (ec)\alpha$ 5,64

Отсюда можно сделать вывод, что Иерархия качественно различных уровней материи и монополи Лошака состоялись как физическая теория и физические частицы, что и требовалось доказать.

5. Применение монополей Лошака для регистрации истинного положения небесных объектов

В экспериментах Козырева Н.А. и группы Новосибирских физиков показана реальность сверхсветовой регистрации истинного положения на Небе некоторых Галактик, Солнца и падение кометы «Шумейкер-Леви 9» на Юпитер. Причем, воздействие на датчики приемной системы по временному каналу производилось при полном перекрытии главного зеркала пластмассовой заслонкой. Только непонятен механизм передачи энергетической информации в Пространсте-Времени Вселенной по временному каналу. Хотелось бы прочувствовать носитель такой информации

В экспериментах группы Уруцкого Л.И. найдена частица, которая проносила световую информацию без искажений через пластмассовую крышку, закрывавшую взрывную камеру. По проницаемости она сходна с частицами(?) временного канала Козырева.

Эта частица удовлетворяет свойствам магнитного монополя Лошака. Для того, чтобы она смогла стать носителем сверхсветовой информации, следует принять модель существования многоуровневой структуры материи и пространства, названной «Иерархия качественно различных уровней материи». В «Иерархия», что показана выше, на всех ее уровнях квантования сохраняется неизменность постоянной тонкой структуры α

$$\alpha = \frac{e^2}{4\pi\epsilon_0\hbar c} = \frac{e_k^2}{4\pi\epsilon_k\hbar_k c_k} = \frac{(e\alpha^k)^2}{4\pi\epsilon_0\alpha^k\hbar\alpha^{2k}c^{-k}}$$

$$\alpha = \frac{\mu_0(ec)^2}{4\pi\hbar c} = \frac{\mu_k(e_k c_k)^2}{4\pi\hbar_k c_k} = \frac{\mu_0\alpha^k(e\alpha^k c\alpha^{-k}=ec)^2}{4\pi\hbar\alpha^{2k}c\alpha^{-k}},$$

где $k = 0, 1, 2, \dots, \infty$ -уровни квантования

$$\text{и } \frac{e^2}{4\pi r_0} = \frac{\mu_0(ec)^2}{4\pi r_0}.$$

Особенностью формулы «Иерархии» является квантование всех констант в нее входящих, в том числе и скорости света c . При этом, с увеличением уровня квантования k все константы уменьшаются кроме скорости света c , которая увеличивается до бесконечности, что совпадает с мгновенной передачей информации, воспринимаемой структурой датчика в приемной системе Козырева.

С увеличением уровня квантования возрастает и скорость передачи энергетической информации монополями Лошака, хотя их энергия уменьшается от уровня к уровню.

Согласно расчетам, сведенным в Таблицу 1, регистрация истинного положения небесных объектов достигается, практически, уже на первом уровне квантования

$k = 1$, на котором отклонение от их истинного положения составит всего 0,73%, что выразится:

-в 3,6 с для Солнца,

-в 18,2 с для кометы «Шумейкер-Леви 9»

-в 14000 световых лет для туманности Андромеды.

Считаем, что такие отклонения от истинных положений небесных объектов не превышают погрешностей измерений в соответствующих экспериментах.

С повышением чувствительности датчиков и с разработкой соответствующих способов измерений, можно ожидать регистрацию телескопами истинного положения всего звездного Неба уже в недалеком будущем.

Литература

1. Козырев Н.А. Астрономические наблюдения посредством физических свойств времени // Вспыхивающие звезды: Труды симпозиума, приуроченного к открытию 2,6-м телескопа Бюраканской астрофизической обсерватории. Бюракан, 5-8 октября 1976 года. – Ереван, 1977, с.209-227.
2. Козырев Н.А., Насонов В.В. Новый метод определения тригонометрических параллаксов на основе измерения разности между истинным и видимым положениями звезд // Астрометрия и небесная механика. – М., Л., 1978, с. 168-179.
3. Козырев Н.А., Насонов В.В. О некоторых свойствах времени, обнаруженных астрономическими наблюдениями // Проявление космических факторов на Земле и в звездах. – М., Л., 1980, с. 76-84.
4. Козырев Н.А. О воздействии времени на вещество // Физические аспекты современной астрономии. – Л., 1985, с. 82-91.
5. Еганова И.А. Аналитический обзор идей и экспериментов современной хронометрии. – Новосибирск: ВЦ СО АН СССР, Деп. ВИНТИ № 6423-84, 1984, 137 с.
6. Данчаков В.М., Еганова И.А. Микрополевые эксперименты в исследовании воздействия физического необратимого процесса. – Новосибирск: ИМ СО АН СССР, Деп. ВИНТИ № 8592-В87, 1987, 109 с.
7. Лаврентьев М.М., Еганова И.А., Луцет М.К., Фоминых С.Ф. О дистанционном воздействии звезд на резистор – ДАН, 1990, т. 314, № 2, с.352-355.
8. Гусев В.А., Пугачев В.Г., Бобровская Н.И. Макроскопические флуктуации числа жизнеспособных клеток *E.coli* в солевом буфере // В кн.: Микробиологические исследования в западной Сибири. Новосибирск: Наука, 1989, с. 59–63.
9. Козырев Н.А. Астрономическое доказательство реальности четырехмерной геометрии Минковского // Проявление космических факторов на Земле и в звездах. – М., Л., 1980, с. 85-93.
10. Минковский Г. – УФН, 1959, т. 69, № 2, с. 303–320.
11. Фридман А.А. Мир как пространство и время. М.: Наука, 1965. 112 с.
12. Synge J.L. – New Scientist, 1959, vol. 5, № 118, p. 410–412. Доклады АН СССР, т. 315 (№ 2), с. 368- 370 (1990).

13. *Козырев Н.А., Насонов В.В.* О некоторых свойствах времени, обнаруженных астрономическими наблюдениями. В сб. Проблемы исследования Вселенной, 1980, вып.9, с.76-84.
14. *Лаврентьев М.М., Еганова И.А., Гусев В.А.* Уроки катастрофы на Юпитере. "Наука в Сибири" №44, ноябрь 1994.]
15. *Холодов Л.И.* Об иерархии качественно различных уровней материи. МНТЦ ВЕНТ Препринт №45.-М.,1993, 16с.
16. *Холодов Л.И., Горячев И.В.* Позитонно-негатонная симметрия материи. Академия Тринитаризма. Эл. №77-6567, публ.22708, 24.01.2016.
17. *Холодов Л.И., Горячев И.В.* Пролог к семинару в РУДН. Академия Тринитаризма. Эл. №77-6567, публ.22705, 12.11.2016.
18. *Уруцкоев Л.И., Ликсонов В.И., Циноев В.Г.* Экспериментальное обнаружение «странного» излучения и трансформация химических элементов. // Прикладная физика, 2000 №4, с.83-100.
19. *Холодов Л.И., Горячев И.В.* Иерархия качественно различных уровней материи и монополи Лошака. Академия Тринитаризма. Эл. №77-6567, публ. 24031, 05.12.2017.